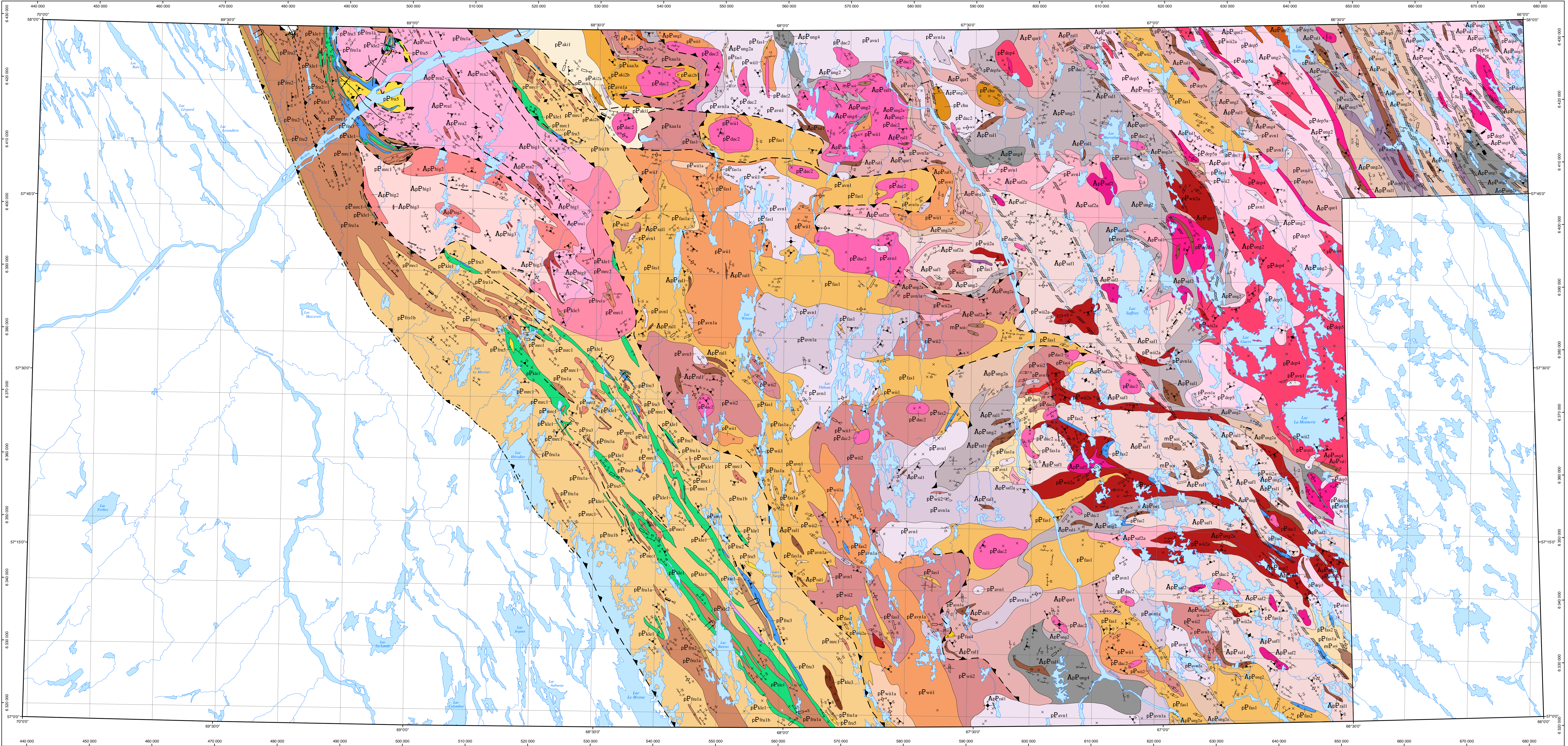


Géologie de la région du lac Saffray (SNRC 24F, 24G)



LÉGENDE STRATIGRAPHIQUE

PROVINCE DE CHURCHILL

MÉSOPROTÉROZOÏQUE

Suite de Soisson

mP_{soi} Troctolite à texture subophitique, gabbro et gabbronorite

FOSSÉ DU LABRADOR

ZONE DE RACHEL-LAPORTE

PALÉOPROTÉROZOÏQUE

Suite de Mercier

pP_{mc2} Granite rose, homogène et massif

pP_{mc1} Granite et tonalite, pegmatitiques, blanchâtres, à muscovite, biotite et tourmaline ± grenat ± apatite

Supersuite de Laporte

Suite de Freneuse

pP_{fru5} Quartzite

pP_{fru3} Marbre et roches calco-silicatées

pP_{fru2} Argilite et phyllade

pP_{fru1a} Paraschiste à muscovite, biotite ± grenat ± sillimanite

pP_{fru1b} Paragneiss granoblastique, homogène, à biotite ± muscovite

Suite de Klein

pP_{kl1} Métagabbro et métagabbro gloméroporphyrique

pP_{kl2} Métapyroxénite et péridotite serpentinisée

pP_{kl3} Amphibolites dérivées de basalte et de gabbro

ARCHÉEN

Complexe de Highfall (2693 ±8 Ma)

ApP_{hig3} Diorite et gabbro, amphibolisés

ApP_{hig2} Granite rose, moyennement grenu, folié et à biotite

ApP_{hig1} Monzogranite et monzonite quartzifère, magnétiques, à texture porphyroïde, bien foliés, à biotite et hornblende

Complexe de Rénia (gneiss granitique, 2692 ±4 Ma; gneiss tonalitique, 2883 ±6 Ma)

ApP_{ren2} Diorite et gabbro, amphibolisés et souvent riches en grenat

ApP_{ren1} Gneiss granitique à biotite; un peu de gneiss tonalitique

ZONE NOYAU

PALÉOPROTÉROZOÏQUE

DOMAINE DE GABRIEL

Suite d'Akiasirvup

pP_{ak2a} Paragneiss et paraschiste à biotite et grenat

pP_{ak2b} Paragneiss et paraschiste à sillimanite et biotite

pP_{ak1} Paragneiss à biotite, migmatitisé et granoblastique

DOMAINE DE BAIE AUX FEUILLES

Complexe de Kaslac (1835 ±2 Ma)

pP_{kas3a} Gabbro mélanocrate, homogène, à hornblende et clinopyroxène

pP_{kas1a} Diorite et diorite quartzifère, granoblastiques, fortement déformées, à hornblende et biotite

DOMAINE DE BUTEUX

Suite de Winnie (1838 ±6 Ma)

pP_{wi2} Diatexite et métatexite, hétérogènes et rubanées, à biotite

pP_{wi3a} Diatexite et métatexite, hétérogènes et rubanées, à biotite, grenat et aluminosilicates

pP_{wi1} Diatexite homogène, à texture porphyroïde et à biotite

pP_{wi1a} Diatexite homogène, hétérogranulaire et à biotite

Suite de Faise

pP_{fai4} Quartzite massif, finement grenu et granoblastique

pP_{fai3} Formation de fer au faciès des oxydes

pP_{fai2} Roches calco-silicatées

pP_{fai1} Paragneiss migmatitisé à biotite renfermant entre 15 et 25 % de leucosome

pP_{fai1a} Paragneiss migmatitisé à biotite et grenat renfermant entre 15 et 25 % de leucosome

ZONE NOYAU NON DIVISÉE

Suite Dancelou

pP_{dan2} Granite rose, homogène, de granulométrie moyenne à grossière; pegmatite

pP_{dan1} Granite gris, homogène, de granulométrie fine à moyenne

Suite d'Avenau (1817 à 1811 Ma)

pP_{avn1} Roches blanchâtres, de composition tonalitique à granitique, pauvres en minéraux mafiques, massives et de granulométrie fine à moyenne, localement pegmatitiques

pP_{avn1a} Roches blanchâtres, d'aspect hétérogène du à la présence de nombreuses enclaves et de 15 à 30 % de schlierens de biotite

Pluton de Chaumaux

pP_{cha} Anorthosite massive, granoblastique, fracturée et à l'aspect bréchique

Suite granitique de De Pas (1840 à 1823 Ma)

pP_{dps5} Monzogranite à biotite ± hornblende de granulométrie moyenne à grossière; granite à biotite de granulométrie moyenne à fine

pP_{dps1a} Monzogranite et granite renfermant beaucoup d'enclaves de gneiss, de migmatite et de diorite

pP_{dps4} Grandiorite à biotite ± hornblende et à texture porphyroïde

ARCHÉEN À PALÉOPROTÉROZOÏQUE

Complexe de Qurlutuk (2663 ±7 Ma; âges métamorphiques entre 1820 et 1805 Ma)

ApP_{qur3} Roches migmatitiques rubanées fortement injectées de granite

ApP_{qur2} Roches migmatitiques rubanées renfermant une proportion importante de tonalite homogène d'âge archéen

ApP_{qur1} Roches migmatitiques rubanées

Suite de Ralleau

ApP_{ral1} Gabbro et diorite, granoblastiques et amphibolisés

Suite de Saffray (2695 ±21 Ma; âge métamorphique à 1801 ±39 Ma)

ApP_{saf2} Granite magnétique, rose, à biotite

ApP_{saf3} Granite magnétique, hétérogène, renfermant de nombreuses enclaves de gneiss tonalitique

ApP_{saf1} Monzonite quartzifère gneissique, fortement magnétique, à biotite et hornblende

Complexe D'Ungava (3030 à 2660 Ma; âges métamorphiques entre 1850 et 1760 Ma)

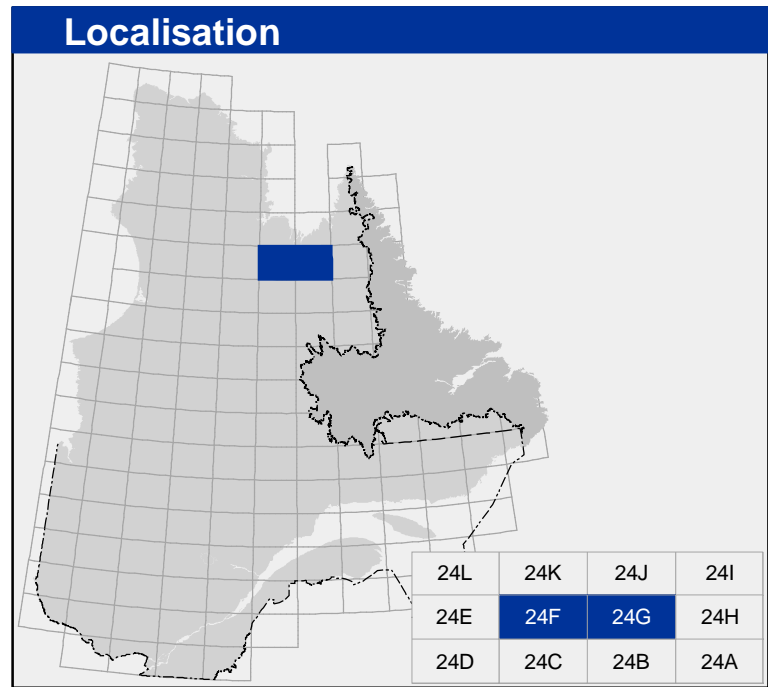
ApP_{ung3} Gneiss granitique à biotite

ApP_{ung1} Gneiss tonalitique renfermant entre 25 et 40 % de rubans granitiques roses

ApP_{ung2} Gneiss tonalitique à biotite et à rubans blanchâtres

ApP_{ung2a} Gneiss dioritique à rubans blanchâtres, à hornblende et biotite

Les symboles et abréviations utilisés sur cette carte sont décrits dans la publication PRO 2000-08 du ministère des Ressources naturelles.



Métadonnées

Surface de référence géologique : Échelle GRS 80

Système de référence géologique : NAD 83 compatible avec le système mondial WGS 84

Projection cartographique : Méridien universel (MUT), latitude 19

Longueur d'origine : 68°12'

Latitude d'origine : 0°

Sources

Données

Base de données topographiques et administratives à l'échelle de 1:250 000 (BDTA 250A)

Organisme

Ministère des Ressources naturelles

Réalisation

Géologue : Isabelle Lefrançois, Martin Simard et Daniel Bandyagiers

Assistance technique : Kathleen O'Brien et Frédéric St-Pierre

Production : Ministère des Ressources naturelles, Direction générale de Géologie Québec

Diffusion : Ministère des Ressources naturelles, Direction de l'information géologique du Québec

RG 2014-02-C001

Carte du rapport RG 2014-02

Pour obtenir les données les plus récentes concernant cette région, nous vous suggérons de consulter les produits géomatiques du Système d'information géologique du Québec (SIGÉOM)

Le présent document n'a aucune portée légale

Déposé légal - Bibliothèque et Archives nationales du Québec

© Gouvernement du Québec, 1^{er} trimestre 2014

SIGÉOM

Système d'information géologique du Québec

Ressources naturelles Québec